



Engenharia de Defeitos via Modulação de Alumínio em Perovskitas de Alta Entropia La(FeCoNiAl_x)O₃ para Produção de Hidrocarbonetos Monoaromáticos por Pirolise Rápida de Lignina

João D.S. Castro^{1,2}, Mateus da S. Carvalho^{2,3}, Laiana S. Bacelar², Rafael Silva dos Santos⁴, Araiaele Santos Freitas⁴, Cesário F. das Virgens^{2,4*}, Shurong Wang^{1**},

- ¹ Zhejiang University, State Key Laboratory of Clean Energy Utilization, Hangzhou, P.R China
- ² Universidade do Estado da Bahia, Programa de Pós-Graduação em Química Aplicada, Salvador, BA, Brazil
- ³ Universidade Estadual do Sudoeste da Bahia, Departamento de Ciências Exatas e Naturais, Itapetinga, BA, Brazil
- ⁴ Universidade do Estado da Bahia, Departamento de Ciências Exatas e da Terra, Licenciatura em Química, Salvador, BA, Brazil

* cvirgens@uneb.br ** srwang@zju.edu.cn

Resumo/Abstract

RESUMO - Este estudo investiga a engenharia de defeitos em perovskitas de alta entropia (HEPOs) La(FeCoNiAl_x)O₃ por meio da modulação de alumínio para otimizar vacâncias de oxigênio e atividade catalítica. As HEPOs sintetizadas (x=0,5; 1,0; 1,5) foram caracterizadas (XRD, TEM, XPS, EPR) para correlacionar defeitos estruturais com a eficiência na pirólise de lignina. A amostra Al_{0,5} apresentou maior densidade de vacâncias de oxigênio (EPR g=1,998) e enriquecimento de Fe³⁺/Co²⁺, aumentando a seletividade para benzeno (36%). O aumento de Al (x=1,5) favoreceu ciclização/condensação, gerando PAHs (4,98%) mas reduzindo a acessibilidade a sítios ativos. A modulação de Al revela-se crucial para direcionar rotas catalíticas em processos de valorização da biomassa.

Palavras-chave: Perovskitas de alta entropia, Vacâncias de oxigênio, Pirólise catalítica, Lignina, Modulação de alumínio

ABSTRACT - This study explores defect engineering in high-entropy perovskites (HEPOs) La(FeCoNiAl_x)O₃ via aluminum modulation to enhance oxygen vacancy formation and catalytic performance. Synthesized via sol-gel, HEPOs with varying Al ratios (x=0.5, 1.0, 1.5) were characterized (XRD, TEM, XPS, EPR) to correlate structural defects with activity in lignin pyrolysis. The Alo.5 variant exhibited higher oxygen vacancy density (EPR g=1.998) and Fe³⁺/Co²⁺ enrichment, boosting benzene selectivity (36%) through enhanced deoxygenation. Increased Al content (x=1.5) promoted cyclization/condensation, yielding PAHs (4.98%) but reduced accessibility to active sites. Results highlight Al modulation as a critical tool for tuning catalytic pathways in biomass valorization.

Keywords: High-entropy perovskites, Oxygen vacancies, Catalytic pyrolysis, Lignin, Aluminum modulation

Introdução

A lignina, segundo componente majoritário das biomassas lignocelulósicas (1), confere resistência à parede celular e gera 70 milhões de toneladas anuais como subproduto industrial. A sua conversão via pirólise resulta em um bio-óleo rico em compostos de alto valor agregado. No entanto, o elevado teor de oxigênio diminui seu poder calorífico e aumenta sua acidez, restringindo sua aplicação direta como combustível (2).

Perovskitas, com alta estabilidade térmica e propriedades redox ajustáveis, são catalisadores promissores para melhorar a qualidade desses produtos. Sua estrutura flexível permite substituições nos sítios A/B, otimizando mobilidade iônica e formação de vacâncias de oxigênio (3). Recentemente, perovskitas de alta entropia (com cinco ou mais elementos) vem se destacando pela estabilidade, acidez controlada e maior atividade catalítica, graças ao "efeito coquetel" (4). Apesar do potencial, aplicações em pirólise

de lignina são pouco exploradas. Este estudo investiga perovskitas de alta entropia para aumentar a seletividade de hidrocarbonetos aromáticos na pirólise catalítica rápida *exsitu* da lignina.

Experimental

Sintese dos catalisadores

Foram obtidas três composições de perovskitas, do tipo (ABO₃), de alta entropia: La(MAl)O₃, La(MAl_{1.5})O₃ e La(MAl_{0.5})O₃, onde M = FeCoNi. Para as amostras La(MAl_{1.5})O₃ e La(MAl_{0.5})O₃. A proporção de alumínio foi ajustada, em relação à quantidade inicial dos íons do sítio B, respectivamente.

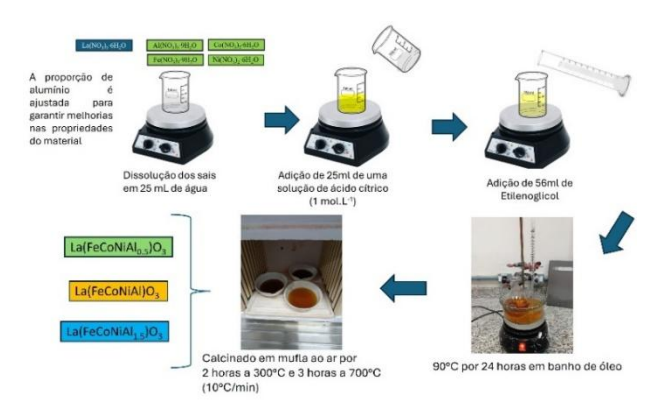
Pirólise catalítica

A lignina alcalina (Sigma Aldrich) foi seca em mufla a 100°C por 24 horas antes da pirólise em micropirolisador (Frontier PY-3030D). Amostras de $0,50\pm0,02$ mg de lignina e 20 mg de catalisador (separadas por lã de quartzo) foram pirolisadas a 600°C por 30 segundos. Os voláteis

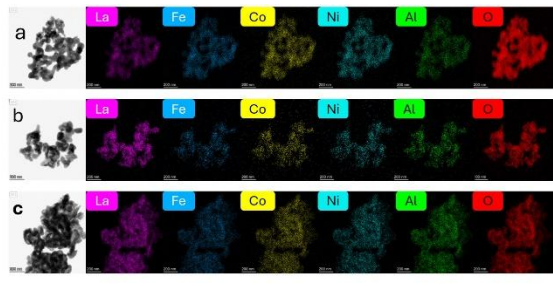


foram analisados por GC/MS (Thermo Trace DSQII) e identificados via biblioteca NIST MS.

Figura 1. Esquema de síntese sol-gel das perovskitas de alta entropia (HEPO)



Resultados e Discussão



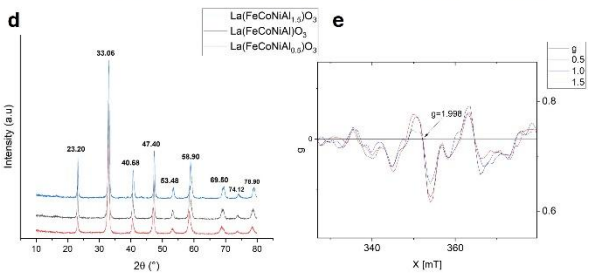


Figura 1. TEM e mapeamento EDS dos catalisadores: a) $La(MAl_0.5)O_3$; b) $La(MAl)O_3$; c) $La(MAl_1.5)O_3$; d) DRX dos catalisadores e) Espectro de EPR para as amostras $La(MAl_x)O_3$

As análises de mapeamento EDS (Figura 1abc) confirmaram distribuição homogênea dos metais nas amostras, sem agregação, alinhando-se com a estrutura perovskita romboédrica única identificada pela XRD (Figura 1d) (5). O EPR (figura 1e) evidenciou maior densidade de vacâncias de oxigênio em La(FeCoNiAlo.5)O₃ (g = 1.998), correlacionada à formação de sítios ativos.

O espectro de Espectroscopia de ressonância paramagnética eletrônica (Figura 1e) revela que a modulação de alumínio promove um aumento na densidade de vacâncias de oxigênio (0.5>1.5>1.0), permitindo também um enriquecimento de sítios ativos no material e sua atividade catalítica.

De acordo com a Figura 2, a pirólise não-catalítica apresentou uma elevado teor de compostos oxigenados (42.98%), com dominância de fenóis metoxilados derivados do guaicol, além da presença de estirenos, produzidos por eliminação de grupos metoxila e fragmentação térmica das ligações β-O-4.



Já a introdução dos catalisadores sugere que:

La(FeCoNiAl_{0.5})O₃ (36% de benzeno): Ni/Co promoveram desoxigenação intensa e hidrogenação, favorecidos por alta densidade de vacâncias e porosidade.

La(FeCoNiAl)O₃ (27.73% de benzeno): Fe estabilizou intermediários radicais, enquanto Al moderou a acidez, aumentando ações secundárias (aminas complexas, 3.99%).

La(FeCoNiAl_{1.5})O₃ (21.17% de benzeno): Al elevado induziu ciclização/condensação, gerando PAHs (4.98%) e cetonas cíclicas, limitando a acessibilidade aos sítios ativos de Ni/Co.

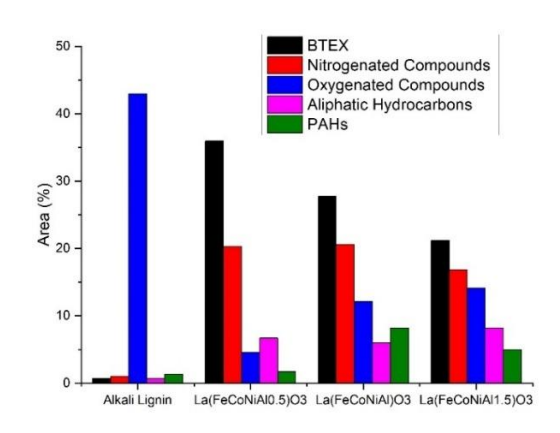


Figura 2. Comparação da eficiência de catalisadores La(FeCoNiAl₃)O₃ na pirólise de alkali lignina.

Conclusões

A síntese demonstrou eficácia na produção de perovskitas de alta entropia (HEPO), com modulação de alumínio promovendo aumento de vacâncias de oxigênio, área superficial e volume de poros, além de distribuição otimizada de espécies ativas (ex.: Fe^{3+} em La(FeCoNiAlo.5)O3). A seletividade para benzeno decresceu com o aumento do alumínio (36% \rightarrow 27,73% \rightarrow 21,17%). Estudos futuros devem focar na otimização das propriedades texturais e na redução da proporção de Al para maximizar a atividade catalítica.

Agradecimentos

UNEB e PGQA; UESB, China Scholarship Council, FAPESB e CAPES

Referências

- 1. Das Virgens, C. F.; Castro, J. D. S., J. Therm. Anal. Calorim. 2021, *146*, 2030–2035.
- 2. Zhang, X. et al., Fuel 2023, 335, 126987.
- Arandiyan, H. et al., ACS Catal. 2023, 13, 7879– 7916.
- 4. Oses, C.; Toher, C.; Curtarolo, S., Nat. Rev. Mater. 2020, *5*, 295–309.
- 5. Aamlid, S. S. et al., J. Am. Chem. Soc. 2023, 145, 5991–6006.